

Московский государственный университет имени М. В. Ломоносова
Механико-математический факультет
Кафедра вычислительной математики

Курсовая работа

«Численное моделирование фильтрации в пористой среде методом конечных объёмов»

Выполнил: студент Петрунников Тимур Максимович
Научный руководитель: Ануприенко Денис Валерьевич

Москва, 2025

Содержание

1	Введение	2
2	Обзор литературы	2
3	Постановка задачи	3
4	Методика численного решения	3
4.1	Дискретизация по пространству и времени	3
4.2	Формулы для внутренних ячеек	3
4.3	Левая ячейка	4
4.4	Правая ячейка	4
5	Программная реализация	4
6	Тестовая задача Celia	5
7	Результаты и обсуждение	5
8	Заключение	5

1 Введение

Фильтрация жидкости в пористой среде является ключевым процессом в гидрогеологии и инженерной практике. Течение подземных вод управляется законом Дарси и законом сохранения массы, что приводит к диффузионным уравнениям с нелинейными характеристиками среды. Практические задачи требуют учитывать сложную геометрию домена и неоднородность проницаемости, что делает аналитические решения невозможными. Метод конечных объёмов обеспечивает локальное сохранение массы и адаптивность к произвольным сеткам, поэтому он получил широкое применение в моделировании фильтрации.

Цель данной работы — разработка и исследование неявной конечнообъёмной схемы для моделирования однофазной фильтрации в пористой среде. Задачи:

- провести обзор методов конечных разностей и конечных объёмов;
- сформулировать математическую модель стационарных и нестационарных задач фильтрации, включая уравнение Ричардса;
- реализовать неявную FVM-схему с методом простой итерации (Пикара);
- протестировать алгоритм на задаче Celia и проанализировать сходимость и водный баланс.

Результаты могут быть применены в экологическом мониторинге, проектировании ирригационных систем и моделировании миграции загрязнений.

2 Обзор литературы

Метод конечных разностей (МКР) предлагает простую аппроксимацию производных с использованием сеточных разностей и хорошо подходит для регулярных сеток [4]. Однако для задач с сложной геометрией и сохранением массы МКР требует значительных доработок.

Метод конечных объёмов (МКО) изначально развивался в гидрогазодинамике и теплообмене [1]. Он базируется на интегральной формулировке законов сохранения в каждом контрольном объёме, что гарантирует строгий баланс массы. МКО применяется к произвольным сеткам и сложным доменам, сохраняя физическую консервативность [5].

В задачах ненасыщенной фильтрации уравнение Ричардса используется с зависимостями $\theta(h)$ и относительной проницаемостью $K_r(h)$ по моделям Ван-Генухтена–Муалема [2, 3]. Итерационные методы (Пикара, Ньютона) обеспечивают решение нелинейных систем с контролем невязки и массосбережения.

Таким образом, МКО сочетает в себе физическое обоснование, гибкость сетки и строгий закон сохранения, что делает его предпочтительным для моделирования фильтрации.

3 Постановка задачи

Рассматривается одномерная область $x \in [0, L]$ с пористой средой. Модель непрерывности и закон Дарси приводят к уравнению:

$$\phi \frac{\partial \theta(h)}{\partial t} - \frac{\partial}{\partial x} \left(K(h) \frac{\partial h}{\partial x} \right) = f(x, t), \quad (1)$$

где ϕ — пористость, $\theta(h)$ — объёмное влагосодержание, $K(h) = K_s K_r(h)$ — проводимость, f — источник/сток. Начальные условия:

$$h(x, 0) = h_{\text{init}}(x),$$

граничные условия:

$$h(L, t) = H_{\text{left}}, \quad -K(h) \frac{\partial h}{\partial x} \Big|_{x=0} = 0.$$

4 Методика численного решения

4.1 Дискретизация по пространству и времени

Разобьём область на m ячеек длиной $\Delta x = L/m$. Объём i -й ячейки — Δx . Временной слой имеет шаг Δt . Используем неявную схему:

$$\begin{aligned} \phi \Delta x \frac{\theta_i^{n+1} - \theta_i^n}{\Delta t} + \Delta t (q_{i+\frac{1}{2}}^{n+1} - q_{i-\frac{1}{2}}^{n+1}) &= 0, \\ q_{i+\frac{1}{2}}^{n+1} &= -K_{i+\frac{1}{2}} \frac{h_{i+1}^{n+1} - h_i^{n+1}}{\Delta x}. \end{aligned}$$

4.2 Формулы для внутренних ячеек

Для внутренних ячеек имеем:

$$\begin{aligned} y_i \Delta x &\sim f(x_{i+\frac{1}{2}}) \Delta x = q_{i+1}^{n+1} - q_i^{n+1} + s_i \frac{h_i^{n+1} - h_i^n}{\Delta t} \Delta x \\ &= \frac{2K_i}{\Delta x} \left(-h_{i-1}^{n+1} \frac{K_{i-1}}{K_i + K_{i-1}} - h_{i+1}^{n+1} \frac{K_{i+1}}{K_i + K_{i+1}} \right. \\ &\quad \left. + h_i^{n+1} \frac{K_{i+1}(K_i + K_{i-1}) + K_{i-1}(K_i + K_{i+1})}{(K_i + K_{i+1})(K_i + K_{i-1})} \right) + s_i \frac{h_i^{n+1} - h_i^n}{\Delta t} \Delta x \\ &\Rightarrow -h_{i-1}^{n+1} \frac{K_{i-1}}{K_i + K_{i-1}} - h_{i+1}^{n+1} \frac{K_{i+1}}{K_i + K_{i+1}} \\ &\quad + h_i^{n+1} \left(\frac{K_{i+1}(K_i + K_{i-1}) + K_{i-1}(K_i + K_{i+1})}{(K_i + K_{i+1})(K_i + K_{i-1})} + s_i \frac{\Delta x^2}{2K_i \Delta t} \right) \\ &= f(x_{i+\frac{1}{2}}) \frac{\Delta x^2}{2K_i} + s_i \frac{\Delta x^2}{2K_i \Delta t} h_i^n. \end{aligned} \quad (2)$$

4.3 Левая ячейка

$$\begin{aligned}
y_0 \Delta x &\sim f(x_{\frac{1}{2}}) \Delta x = -\frac{2K_1K_0}{K_0 + K_1} \frac{h_1^{n+1} - h_0^{n+1}}{\Delta x} + \frac{2K_{-\frac{1}{2}}K_0}{K_0 + K_{-\frac{1}{2}}} \frac{h_0^{n+1} - H_0}{\Delta x/2} \\
&\quad + s_0 \frac{h_0^{n+1} - h_0^n}{\Delta t} \Delta x \\
&\Rightarrow -\frac{K_1}{K_0 + K_1} h_1^{n+1} + \left(\frac{2K_{-\frac{1}{2}}(K_0 + K_1) + K_1(K_0 + K_{-\frac{1}{2}})}{(K_0 + K_{-\frac{1}{2}})(K_0 + K_1)} + s_0 \frac{\Delta x^2}{2K_0 \Delta t} \right) h_0^{n+1} \\
&= \frac{\Delta x^2}{2K_0} f(x_{\frac{1}{2}}) + \frac{2H_0}{K_0 + K_{-\frac{1}{2}}} + s_0 \frac{\Delta x^2}{2K_0 \Delta t} h_0^n.
\end{aligned} \tag{3}$$

4.4 Правая ячейка

$$\begin{aligned}
y_{m-1} \Delta x &\sim f(x_{m-\frac{1}{2}}) \Delta x \\
&= -\frac{2K_{m-1}K_{m-\frac{1}{2}}}{K_{m-1} + K_{m-\frac{1}{2}}} \frac{b - h_{m-1}}{\Delta x/2} + \frac{2K_{m-1}K_{m-2}}{K_{m-1} + K_{m-2}} \frac{h_{m-1} - h_{m-2}}{\Delta x} \\
&\quad + s_{m-1} \frac{h_{m-1}^{n+1} - h_{m-1}^n}{\Delta t} \Delta x \\
&\Rightarrow \left(\frac{2K_{m-\frac{1}{2}}(K_{m-1} + K_{m-2}) + K_{m-2}(K_{m-1} + K_{m-\frac{1}{2}})}{(K_{m-1} + K_{m-\frac{1}{2}})(K_{m-1} + K_{m-2})} + s_{m-1} \frac{\Delta x^2}{2K_{m-1} \Delta t} \right) h_{m-1}^{n+1} \\
&\quad - \frac{K_{m-2}}{K_{m-1} + K_{m-2}} h_{m-2}^{n+1} \\
&= \frac{\Delta x^2}{2K_{m-1}} f(x_{m-\frac{1}{2}}) + \frac{2b}{K_{m-1} + K_{m-\frac{1}{2}}} + s_{m-1} \frac{\Delta x^2}{2K_{m-1} \Delta t} h_{m-1}^n.
\end{aligned} \tag{4}$$

5 Программная реализация

Код реализован на Python с использованием NumPy и SciPy. Основной алгоритм:

1. Создание сетки x_i , начальные условия h_i^0 , параметры ϕ , K_s , параметры модели Ван-Генухтена.
2. Цикл по времени: для каждого шага $n \rightarrow n + 1$:
 - (a) Вычисление $\theta_i^n = \theta(h_i^n)$ по (??).
 - (b) Эффективная проводимость $K_{i+\frac{1}{2}} = (K_s K_r(h^n))$.
 - (c) Сборка системы $A h^{n+1} = b$ с учётом дискретизации.
 - (d) Решение линейной системы (метод Томаса или `scipy.linalg.solve`).
 - (e) Обновление h_i^{n+1} и θ_i^{n+1} .
3. Контроль водного баланса и невязки.

6 Тестовая задача Celia

Классический тест Целии [2]: $L = 0.4$ м, начальные $h(x, 0)$ заданы из референсных данных, на $x = L$ в ($t > 0$) поддерживается $h = 0$, на $x = 0$ поток $q = 0$. Параметры $\phi = 0.287$, $\theta_r = 0.075$, $\alpha = 1.611 \times 10^6$, $n = 3.96$, $K_s = 9.44 \times 10^{-5}$ /. Результаты моделирования сравниваются с референсными профилями и проверяется сохранение массы.

7 Результаты и обсуждение



Рис. 1: Фронт фильтрации на разных временных срезах.

Сравнение профилей показывает согласие с данными Целии. Невязка быстро убывает до $\varepsilon \sim 10^{-6}$. Водный баланс соблюдается в пределах численной погрешности.

8 Заключение

Разработана и протестирована неявная конечнообъёмная схема для моделирования однофазной фильтрации в пористой среде. Алгоритм демонстрирует хорошую сходимость и строгую сохранность массы. Тест Целии подтвердил физическую корректность и точность решения. В последующих работах рекомендуется применять метод

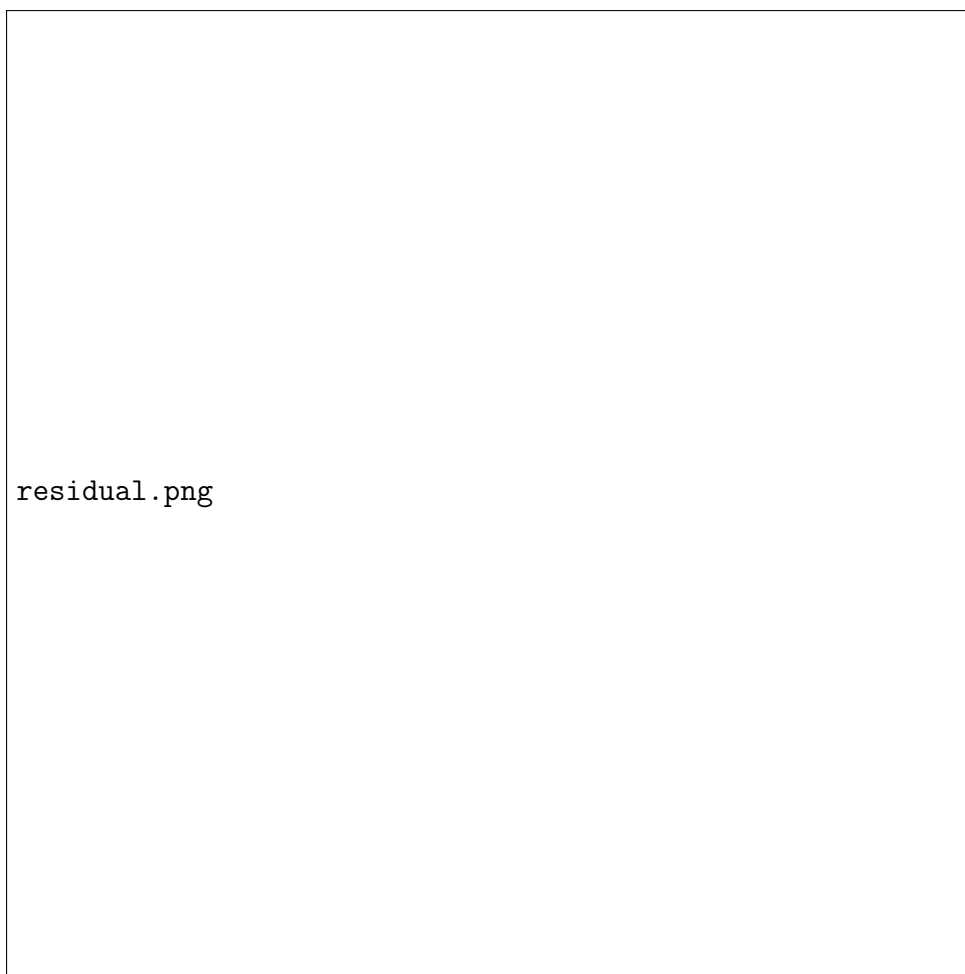


Рис. 2: Невязка решения по итерациям метода Ньютона.

Ньютона с автодифференцированием для ускорения сходимости и расширять схему на многомерные задачи.

Список литературы

- [1] J. Bear. *Dynamics of Fluids in Porous Media*. New York: Elsevier, 1972.
- [2] M. A. Celia, E. T. Bouloutas, R. L. Zarba. A general mass-conservative numerical solution of Richards' equation. *Water Resources Research*, 26(7):1483–1496, 1990.
- [3] M. T. van Genuchten. Closed-form equation for predicting the hydraulic conductivity of unsaturated soils. *Soil Sci. Soc. Am. J.*, 44(5):892–898, 1980.
- [4] А. А. Самарский, А. Н. Гулин. *Методы конечных разностей*. М.: Наука, 1989.
- [5] Н. Е. Леонтьев. *Основы теории фильтрации*. М.: МГУ, 2017.

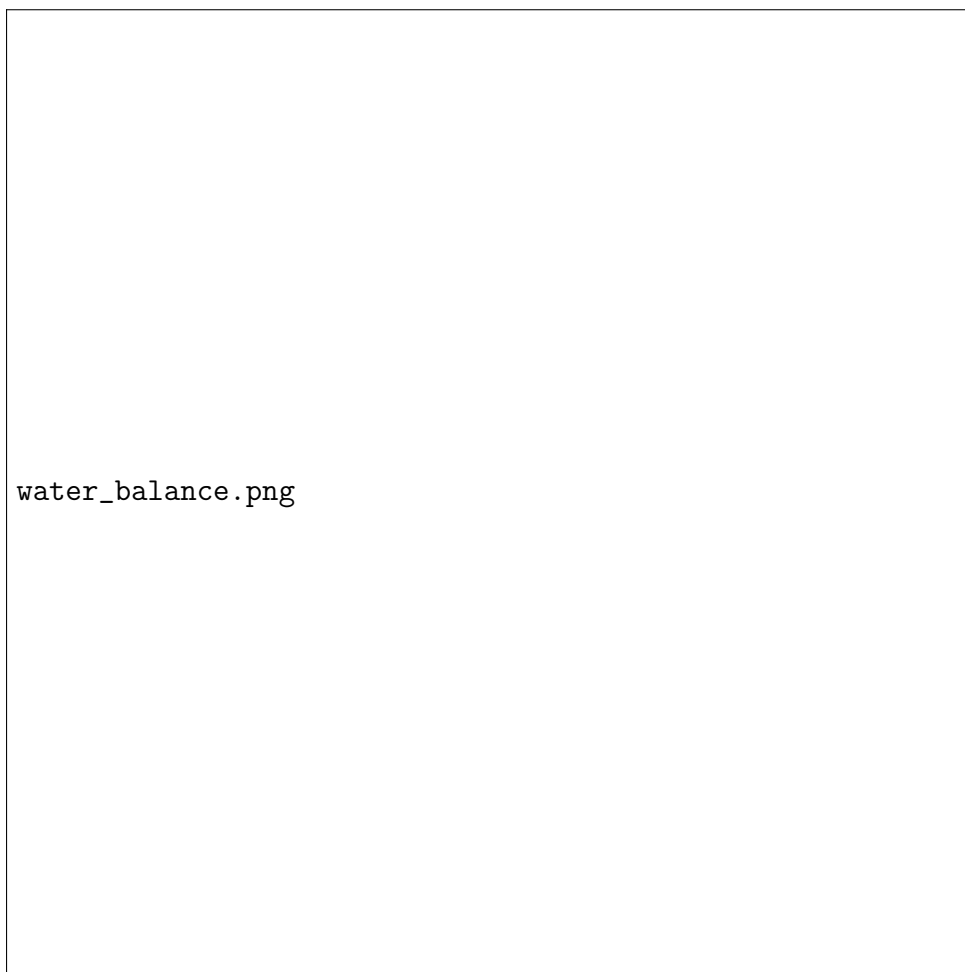


Рис. 3: Водный баланс: накопленная масса vs поступление.